

Босяков С.М., Хвисевич В.М.

ТРЕХМЕРНЫЕ ХАРАКТЕРИСТИЧЕСКИЕ ПОВЕРХНОСТИ В МАГНИТНОЙ ГИДРОДИНАМИКЕ

ВВЕДЕНИЕ

Исследованиям закономерностей распространения поверхностей сильного разрыва в идеально проводящей жидкости при наличии магнитного поля посвящено достаточно большое количество публикаций, результаты которых отражены в фундаментальной монографии [1]. В частности, проведены исследования кривых фазовых скоростей и двумерных фронтов волн скоростей при различных соотношениях между скоростью звука и скоростью волны Альфвена. Настоящая работа дополняет эти результаты и посвящена моделированию трехмерных фронтов волн Альфвена, распространяющихся от точечного сосредоточенного источника, находящегося в сжимаемой ионизированной жидкости, на которую действуют электромагнитные силы.

ХАРАКТЕРИСТИЧЕСКОЕ УРАВНЕНИЕ

Систему уравнений движения, описывающую идеально проводящую жидкость при наличии магнитного поля, представим в следующем виде (в предположении малости движений) [1]:

$$\partial_t \mathbf{B}_1 + u_3 \partial_3 \mathbf{B}_1 - \mathbf{B}_3 \partial_3 u_1 - u_1 (\partial_2 \mathbf{B}_2 + \partial_3 \mathbf{B}_3) + u_2 \partial_2 \mathbf{B}_1 - \mathbf{B}_2 \partial_2 u_1 + \mathbf{B}_1 (\partial_2 u_2 + \partial_3 u_3) = 0,$$

$$\partial_t \mathbf{B}_2 + u_3 \partial_3 \mathbf{B}_2 - \mathbf{B}_3 \partial_3 u_2 - u_2 (\partial_1 \mathbf{B}_1 + \partial_3 \mathbf{B}_3) + u_1 \partial_1 \mathbf{B}_2 - \mathbf{B}_1 \partial_1 u_2 + \mathbf{B}_2 (\partial_1 u_1 + \partial_3 u_3) = 0,$$

$$\partial_t \mathbf{B}_3 + u_2 \partial_2 \mathbf{B}_3 - \mathbf{B}_2 \partial_2 u_3 - u_3 (\partial_1 \mathbf{B}_1 + \partial_2 \mathbf{B}_2) + u_1 \partial_1 \mathbf{B}_3 - \mathbf{B}_1 \partial_1 u_3 + \mathbf{B}_1 (\partial_1 u_1 + \partial_2 u_2) = 0,$$

$$\partial_t u_1 + \partial_1 p - \frac{1}{\mu} (\mathbf{B}_3 (\partial_3 \mathbf{B}_1 - \partial_1 \mathbf{B}_3) + \mathbf{B}_2 (\partial_2 \mathbf{B}_1 - \partial_1 \mathbf{B}_2)) = 0,$$

$$\partial_t u_2 + \partial_2 p - \frac{1}{\mu} (\mathbf{B}_3 (\partial_3 \mathbf{B}_2 - \partial_2 \mathbf{B}_3) + \mathbf{B}_1 (\partial_1 \mathbf{B}_2 - \partial_2 \mathbf{B}_1)) = 0,$$

$$\partial_t u_3 + \partial_3 p - \frac{1}{\mu} (\mathbf{B}_2 (\partial_2 \mathbf{B}_2 - \partial_3 \mathbf{B}_2) + \mathbf{B}_1 (\partial_1 \mathbf{B}_3 - \partial_3 \mathbf{B}_1)) = 0,$$

$$\partial_t \rho + \rho (\partial_1 u_1 + \partial_2 u_2 + \partial_3 u_3) + u_1 \partial_1 \rho + u_2 \partial_2 \rho + u_3 \partial_3 \rho = 0.$$

Здесь u_1, u_2, u_3 – компоненты вектора скорости, $\mathbf{B}_1, \mathbf{B}_2, \mathbf{B}_3$ – компоненты вектора напряженности магнитного поля, $p = f(\rho)$ – давление, являющееся функцией плотности ρ , μ – магнитная проницаемость, $\partial_k = \partial/\partial x_k, k = \overline{1,3}, \partial_t = \partial/\partial t$.

Начальные данные к системе (1) зададим на поверхности $z(t, x_1, x_2, x_3) = 0$ и перейдем к новым переменным по схеме $\mathbf{g} = z(t, x_1, x_2, x_3)$ и $\mathbf{g}_i = z_i(t, x_1, x_2, x_3)$.

Подставляя производные по переменным x_k и t , выраженные через производные по переменным \mathbf{g}_k и \mathbf{g} в (1), после стандартной процедуры получим следующее уравнение характеристик:

$$\det \|w_i\|_{7 \times 7} = 0, \quad (2)$$

$$\text{где } w_{jk} = \mathbf{B}_j p_k, w_{kk} = \mathbf{B}_k p_k - \sum_{n=1}^3 \mathbf{B}_n p_n, w_{j+3,j} = \rho p_0,$$

$$w_{7k} = -\rho p_k, w_{j,j+3} = p_0 + \sum_{n=1}^3 u_n p_n - u_j p_j, w_{j,k+3} = -u_j p_k,$$

$$w_{j+3,j+3} = -\frac{1}{\mu} \left(\sum_{n=1}^3 \mathbf{B}_n p_n - \mathbf{B}_j p_j \right), w_{j+3,k+3} = \frac{\mathbf{B}_k p_j}{\mu},$$

$$w_{j+3,7} = a^2 p_j, a = \sqrt{\frac{dp}{d\rho}} \text{ – скорость звука, } p_j = \frac{\partial z}{\partial x_j},$$

$$p_0 = \frac{\partial z}{\partial t}, j \neq k = \overline{1,3}; \text{ остальные компоненты равны нулю.}$$

Раскрывая определитель, после несложных преобразований будем иметь (считаем, что система координат перемещается вместе с жидкостью, то есть $u_k = 0$ [1]):

$$p_0 \left(\mu \rho p_0^2 - (\mathbf{B}_1 p_1 + \mathbf{B}_2 p_2 + \mathbf{B}_3 p_3)^2 \right) \left(A p_0^4 + B p_0^2 + C \right) = 0 \quad (3)$$

Здесь введены следующие обозначения

$$A = \mu \rho, B = -(\mathbf{B}_1^2 + \mathbf{B}_2^2 + \mathbf{B}_3^2 + a^2 \mu \rho) \tau,$$

$$C = a^2 (\mathbf{B}_1 p_1 + \mathbf{B}_2 p_2 + \mathbf{B}_3 p_3)^2 \tau, \tau = p_1^2 + p_2^2 + p_3^2.$$

БИХАРАКТЕРИСТИКИ И КООРДИНАТЫ ТОЧЕК ВОЛНОВОГО ФРОНТА

Рассмотрим волны Альфвена, на скорость распространения которых влияет скорость звука. Для определения координат точек среды, до которых дошла энергия волнового возмущения, выразим из уравнения (3) p_0 (чтобы избежать громоздких выкладок будем считать, что $\mathbf{B} = \mathbf{B}_k, k = \overline{1,3}$):

$$p_0 = 0, \quad (4)$$

$$\frac{p_0}{a} = \pm b (p_1 + p_2 + p_3), \quad (5)$$

Босяков Сергей Михайлович, доцент кафедры теоретической и прикладной механики Белорусского государственного университета.

Беларусь, БГУ, 220050 Беларусь, Минск, пр. Независимости, 4.

Хвисевич Виталий Михайлович, к.т.н., доцент, зав. кафедрой сопротивления материалов и теоретической механики Брестского государственного технического университета.

Беларусь, БГТУ, 224017, г. Брест, ул. Московская, 267.

$$\frac{p_0^{(i)}}{a} = \sqrt{\frac{1}{2} \left((1+3b^2)\tau - (-1)^i \sqrt{\tau \left((1+3b^2)^2 \tau - 4b^2 (p_1 + p_2 + p_3)^2 \right)} \right)}, i = 1, 2, \quad (6)$$

где $b = \frac{B}{a\sqrt{\mu\rho}}$ - безразмерная скорость распространения волны Альфвена.

Выражения (4) и (5) описывают стационарную поверхность разрыва (линию тока) и прямую (и обратную) волны Альфвена [1]. Далее рассмотрим волны Альфвена, скорость распространения которых зависит от скорости звука. Согласно [2] имеем

$$\frac{dx_k}{dt} = \frac{\partial p_0}{\partial p_k}, k = \overline{1,3}. \quad (7)$$

Здесь x_k - пространственные координаты, определяющие положение точек волнового фронта в момент времени $t = 0$, распространяющегося от точечного источника, в момент времени t . Тогда из выражения (6) получим:

$$\begin{aligned} \frac{dx_k^{(i)}}{dt} &= \frac{1}{a} \frac{\partial p_0^{(i)}}{\partial p_k} = \\ &= \frac{(1+3b^2)p_k - (-1)^i \frac{\tau \left((1+3b^2)^2 p_k - 4b^2 (p_1 + p_2 + p_3) \right) + p_k K}{2\sqrt{\tau K}}}{\sqrt{2 \left((1+3b^2)\tau - (-1)^i \sqrt{\tau K} \right)}}, \\ K &= (1+3b^2)^2 \tau - 4b^2 (p_1 + p_2 + p_3)^2, i = 1, 2, k = \overline{1,3}. \end{aligned} \quad (8)$$

Поскольку правая часть выражений (8) не зависит от времени t , после интегрирования будем иметь (считаем, что возмущение возникло в момент времени $t = 0$ в начале координат)

$$x_k^{(i)} = \frac{(1+3b^2)p_k - (-1)^i \frac{\tau \left((1+3b^2)^2 p_k - 4b^2 (p_1 + p_2 + p_3) \right) + p_k K}{2\sqrt{\tau K}}}{\sqrt{2 \left((1+3b^2)\tau - (-1)^i \sqrt{\tau K} \right)}} at,$$

Отсюда, с учетом того, что $p_k = n_k \sqrt{\tau}$ ($n_k = \cos \alpha_k$ - направляющие косинусы нормали к волновой поверхности, α_k - угол между осью координат x_k и нормалью к волновой поверхности [2]) получим безразмерные координаты точек волновой поверхности:

$$\begin{aligned} \hat{x}_k^{(i)} = \frac{x_k^{(i)}}{at} &= \frac{(1+3b^2)n_k - \frac{(-1)^i \left(\left((1+3b^2)^2 n_k - 4b^2 (n_1 + n_2 + n_3) \right) + n_k \hat{K} \right)}{2\sqrt{\hat{K}}}}{\sqrt{2 \left(1+3b^2 - (-1)^i \sqrt{\hat{K}} \right)}}, \\ \hat{K} &= (1+3b^2)^2 - 4b^2 (n_1 + n_2 + n_3)^2, i = 1, 2, k = \overline{1,3}. \end{aligned} \quad (9)$$

Скорости распространения волновых фронтов, направленные по нормали к волновой поверхности также найдем из характеристического уравнения (3):

$$v_i = \sqrt{\frac{1}{2} (3b^2 + 1) - (-1)^i \sqrt{\frac{1}{4} (3b^2 + 1)^2 - b^2 (n_1 + n_2 + n_3)^2}}, i = 1, 2 \quad (10)$$

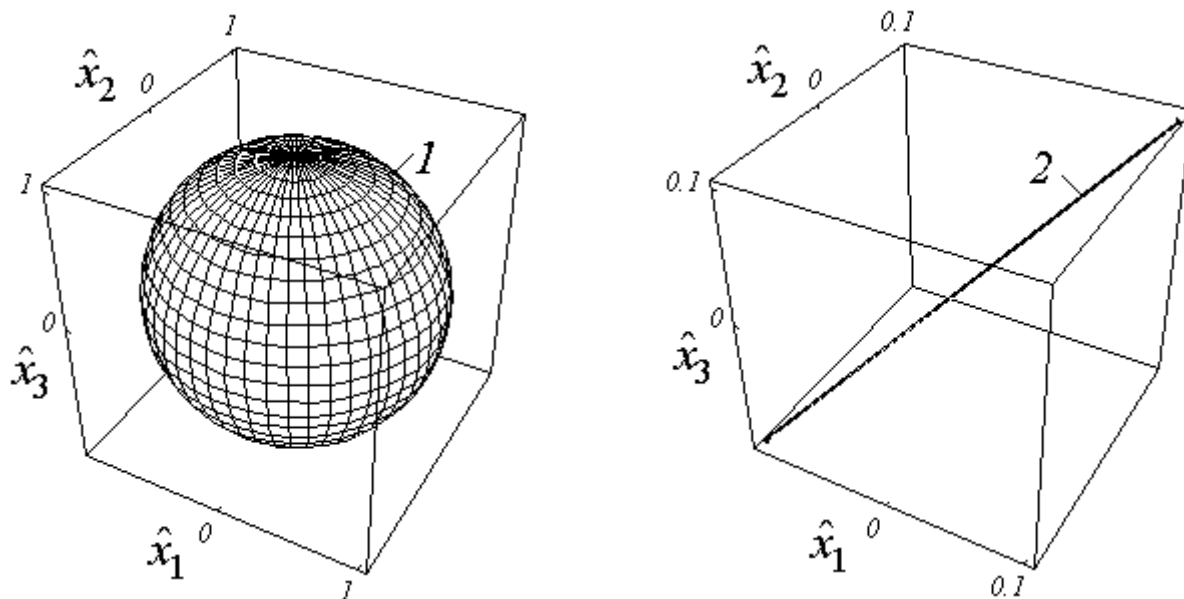


Рис. 1. Трехмерные фронты волн скоростей при $b = 0,1$, определяемые координатами: 1 - $\hat{x}_k^{(1)}$; 2 - $\hat{x}_k^{(2)}$

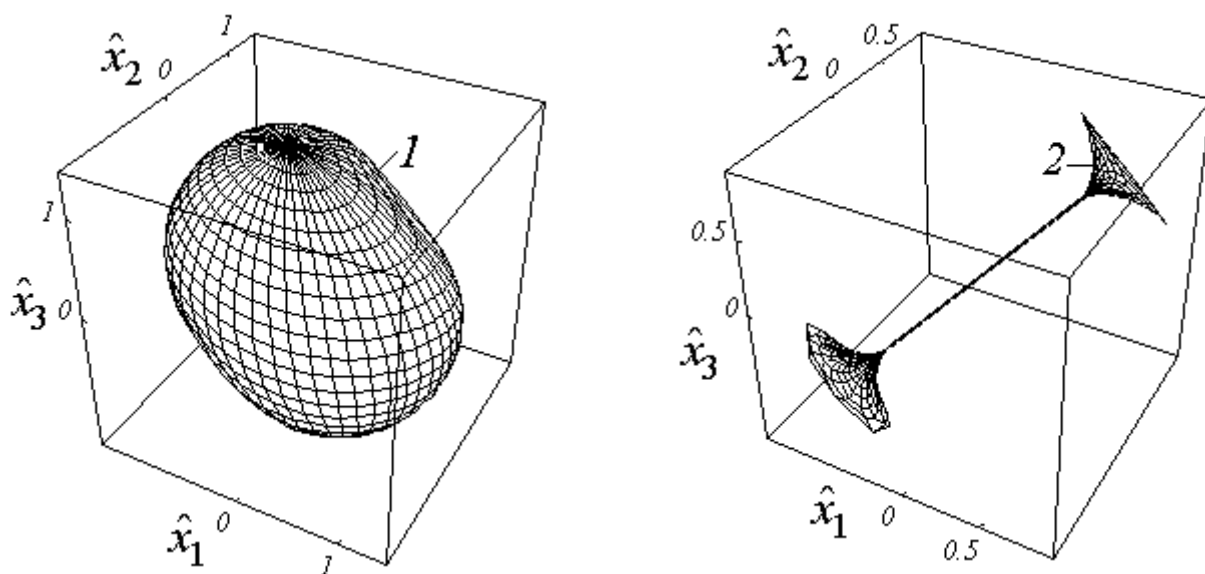


Рис. 2. Трехмерные фронты волн скоростей при $b = 0,6$, определяемые координатами: 1 - $\hat{x}_k^{(1)}$; 2 - $\hat{x}_k^{(2)}$

где $v = V/a$ - безразмерная скорость распространения поверхности разрыва, $V = -p_0/\sqrt{\tau}$ - скорость распространения поверхности разрыва [2].

ВОЛНОВЫЕ ПОВЕРХНОСТИ

Рассмотрим различные случаи волновых поверхностей, построенных с помощью выражений (9), соответствующие различным соотношениям между скоростью звука a и скоростью Альфвена $B/\sqrt{\mu\rho}$. На рис. 1 представлены безразмерные трехмерные фронты, описываемые тройками координат $\hat{x}_k^{(1)}$ и $\hat{x}_k^{(2)}$, при $b = 0,1$ (при построении здесь и далее принимаем $t = 1$ с).

Из рис. 1 (1) видно, что при $b = 0,1$ волновая поверхность, распространяющаяся со скоростью v_1 , представляет

собой сферу (радиус сферы незначительно превышает 1). Трехмерный фронт для другой волны представляет собой прямую, расположенную под углом $\pi/4$ ко всем координатным осям. При уменьшении значения b длина луча (рис. 1, 2) также уменьшается; радиус сферы, соответствующей волновой поверхности, распространяющейся со скоростью v_1 (рис. 1, 1), при неограниченном уменьшении b стремится к 1.

При увеличении значения безразмерной скорости b вид волновых поверхностей изменяется. Так, на рис. 2 показаны поверхности скоростей, построение которых выполнено при $b = 0,6$. Отметим, что аналогичный вид имеют поверхности скоростей для значений безразмерной скорости волны Альфвена из диапазона $0,45 \div 0,85$.

Из рис. 2, 1 видно, что трехмерный фронт волны, распространяющейся со скоростью v_1 , вытягивается в направлении

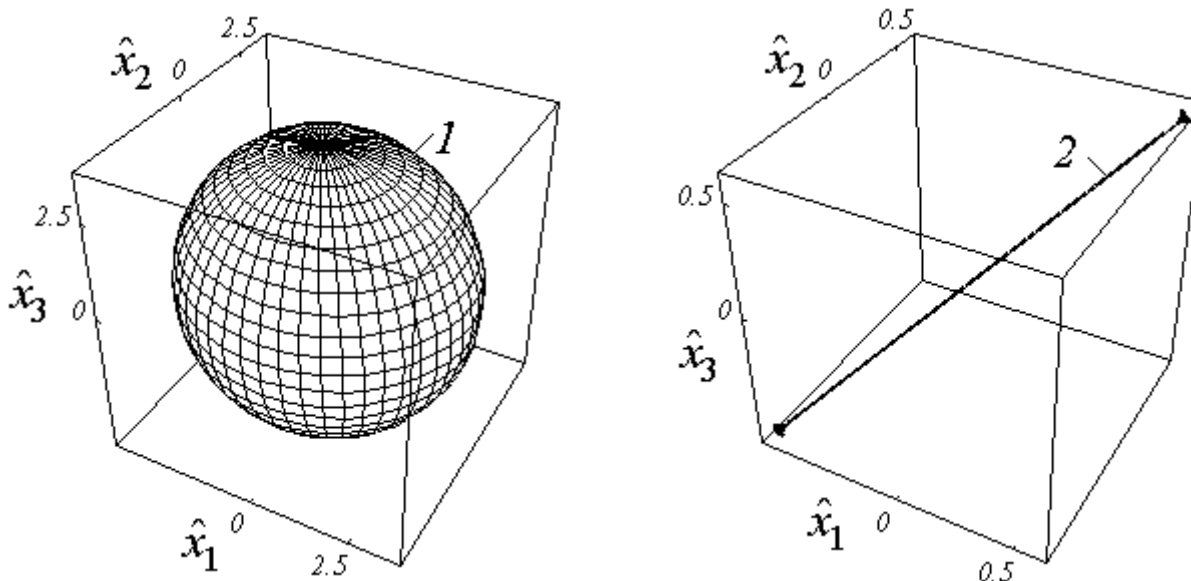


Рис. 3. Трехмерные фронты волн скоростей при $b = 2,0$, определяемые координатами: 1 - $\hat{x}_k^{(1)}$; 2 - $\hat{x}_k^{(2)}$

луча, расположенного под углом $-\pi/4$ ко всем координатным осям. Распространение другой волны (рис. 2, 2) сопровождается возникновением двух симметрично расположенных лакун в виде конусов, ось которых расположена под углом $\pi/4$ к осям координат.

При дальнейшем возрастании значений b , волновые поверхности принимают вид сферы и прямой соответственно (рис. 3; при построении принимаем $b = 2,0$).

Отличие от случая малых b (рис. 1) заключается в значении радиуса сферы и длине участка прямой. Так, радиус сферы, отражающей трехмерный фронт для волны, распространяющейся со скоростью v_1 , возрастает с увеличением b , радиус при этом приближенно равен b . Значение длины участка прямой, соответствующей волновой поверхности для другой волны в момент времени $t = 1$ с при неограниченном возрастании b не изменяется и приближенно составляет 1,73.

В заключение отметим, что сечения волновых поверхностей плоскостью, являющейся биссектрисой координатного угла $x_1 0 x_2$ и проходящей через ось координат x_3 , соответствуют двумерным волновым фронтам, полученным в [1].

УДК 621. 81. 004

Кожуро Л.М., Мрочек Ж.А., Пашкевич М.Ф., Тризна В.В.

РАСЧЕТ НА ПРОЧНОСТЬ ПРЯМОУГОЛЬНЫХ СТЕРЖНЕЙ С НАПЛАВЛЕННЫМИ ПОВЕРХНОСТЯМИ

Стержни прямоугольного сечения обычно наплавляют с двух или с одной стороны. При двухсторонней наплавке симметрично расположенные грани параллелепипеда можно представить с покрытиями в два слоя (рис.1). Наружный слой 3 состоит из наплавленного материала с модулем упругости E_3 . При этом процессе наплавляемый материал диффундирует в основу, за счет чего формируется еще один слой 2 с модулем упругости, величину которого можно представить в виде

$$E_2(y) = E_1 + (2|y| - h_1) \frac{E_3 - E_1}{h_2 - h_1}. \quad (1)$$

В пределах размера h_1 сохраняется материал основы детали с модулем упругости E_1 .

Рассмотрим расчет напряжений при растяжении прямоугольного стержня с двухсторонней наплавкой. После наплавки в стержне имеют место остаточные напряжения [1].

Кожуро Л.М., Мрочек Ж.А., Пашкевич М.Ф., Тризна В.В.

УО "Белорусский национальный технический университет", пр.-т. Независимости, 65, 220050, г. Минск, Беларусь.

УО "Белорусский государственный аграрный технический университет", пр.-т. Независимости, 99, 220013, г. Минск, Беларусь.